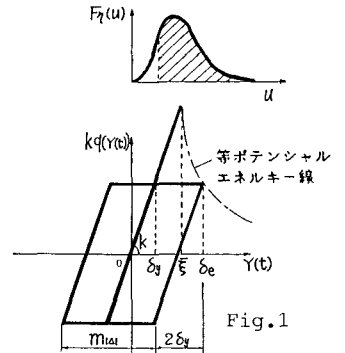


非弾性地震応答スペクトルの確率論的評価に関する研究

鳥取大学工学部 正会員 高岡宜善 荒谷建設C. 正会員 ○今田賢三
 鳥取大学工学部 正会員 白木 渡 吉本組 正会員 鎌田真治
 鳥取大学工学部 正会員 松保重之

1. まえがき 構造物の耐震設計荷重を決定する際には、建設地点においてその構造物が耐用期間中に受けるであろう全ての地震動を考慮しなければならないが、比較的頻繁に起こるごく小規模な地震に対しても、まれにしか起こらない大規模な地震に対しても同じように弾性設計をすると、部材断面が大きくなり不経済となるため、構造物にある程度の塑性変形を許した非弾性設計を行なう必要がある。本研究では、このような構造物の塑性変形を考慮した場合の非線形応答の確率論的評価の方法について考えることにする。

2. 等価線形化法による有効パラメータの決定 構造物が完全弾性体ならば、その応答は比較的簡単に評価することができる[1]。しかし、構造物が弾塑性体ならば、その応答の評価は非常に難しく、厳密な解は得られていないため何らかの仮定を設けて近似的に評価しなければならない。ここでは、一つの近似的方法について述べる。まず、構造物のモデルは完全弾塑性復元力特性を持つ1自由度構造モデルを用いる(Fig. 1参照)。そして、地震動は正規定常過程でモデル化する。この構造系に不規則な外乱A(t)が作用した場合の応答は線形系とは異なり、微分方程式は式(1)で与えられる[2]。ここに、 ω_0, γ_0 は構造物の非減衰の固有円振動数、弾性範囲内の減衰定数、q(Y(t))は復元力特性である。式(2)は式(1)の解を確率論的に評価するために、最小二乗近似による等価線形化法および確率論を導入し等価線形化した微分方程式である。ここに、 γ_0 は有効減衰定数、 ω_0 は有効円振動数であり、これから定めようとするパラメータである(以後有効パラメータと呼ぶ)。一度地震動を受けた構造物が応答継続時間区間(T₁, T₂)においてN回の履歴ループを描くとすれば、系が降伏した場合のみの平均等価減衰定数 $\bar{\gamma}$ および平均等価円振動数 $\bar{\omega}$ は絶対平均降伏増分 $m_{\mu_1} = (1/N) \sum_{i=1}^N \Delta_i$ を用いることによって近似的に式(3)で与えられる[1, 2, 3]。有効パラメータ γ_0 および ω_0 は、応答が単位時間あたりに降伏変位 δ_y を超過する平均個数 n_y を用いることによって近似的に式(4)で与えられる[3]。ここに、 ω_0^* は固有円振動数 ω_0 、減衰定数 γ_0 を有する1自由度弾性構造物の応答の分散である。次に、絶対平均降伏増分 m_{μ_1} を評価するために、固有円振動数 ω_0 、減衰定数 γ_0 を有する1自由度弾性構造物の応答を考える。構造系が線形応答を示す場合、応答の極値 η の分布はRayleigh分布に従っており、線形応答の極値 η のうちレベル δ_y を超えるものの平均値を $\bar{\xi}$ とすると、 $\bar{\xi}$ は平均値の定義を適用することによって式(5)で与えられる。ここに、 ϵ は積分変数である。次に、弾塑性系の降伏変位 δ_y と有効変位 δ_e および絶対平均降伏増分 m_{μ_1} の間に式(6)の関係を仮定する(Fig. 1参照)。ここに、 μ_e を有効塑性率とよぶことにする。式(6)および



$$\ddot{Y}(t) + 2\gamma_0 \omega_0 \dot{Y}(t) + \omega_0^2 q(Y(t)) = -A(t) \quad (1)$$

$$\ddot{Y}_e(t) + 2\gamma_e \omega_e \dot{Y}_e(t) + \omega_e^2 Y_e(t) = -A(t) \quad (2)$$

数、q(Y(t))は復元力特性である。式(2)は式(1)の解を確率論的に評価するために、最小二乗近似による等価線形化法および確率論を導入し等価線形化した微分方程式である。ここに、 γ_0 は有効減衰定数、 ω_0 は有効円振動数であり、これから定めようとするパラメータである(以後有効パラメータと呼ぶ)。一度地震動を受けた構造物が応答継続時間区間(T₁, T₂)においてN回の履歴ループを描くとすれば、系が降伏した場合

のみの平均等価減衰定数 $\bar{\gamma}$ および平均等価円振動数 $\bar{\omega}$ は絶対平均降伏増分 $m_{\mu_1} = (1/N) \sum_{i=1}^N \Delta_i$ を用いることによって近似的に式(3)で与えられる[1, 2, 3]。有効パラメータ γ_0 および ω_0 は、応答が単位時間あたりに降伏変位 δ_y を超過する平均個数 n_y を用いることによって近似的に式(4)で与えられる[3]。ここに、 ω_0^* は固有円振動数 ω_0 、減衰定数 γ_0 を有する1自由度弾性構造物の応答の分散である。次に、絶対平均降伏増分 m_{μ_1} を評価するために、固有円振動数 ω_0 、減衰定数 γ_0 を有する1自由度弾性構造物の応答を考える。構造系が線形応答を示す場合、応答の極値 η の分布はRayleigh分布に従っており、線形応答の極値 η のうちレベル δ_y を超えるものの平均値を $\bar{\xi}$ とすると、 $\bar{\xi}$ は平均値の定義を適用することによって式(5)で与えられる。ここに、 ϵ は積分変数である。次に、弾塑性系の降伏変位 δ_y と有効変位 δ_e および絶対平均降伏増分 m_{μ_1} の間に式(6)の関係を仮定する(Fig. 1参照)。ここに、 μ_e を有効塑性率とよぶことにする。式(6)および

$$\bar{\gamma} = \frac{4\delta_y m_{\mu_1} \omega_0}{\pi(m_{\mu_1} + 2\delta_y)^2 \bar{\omega}} + \frac{\gamma_0 \omega_0}{\bar{\omega}} \quad (3)$$

$$\bar{\omega}^2 = \omega_0^2 (\theta^* - \sin^2 \theta^* \cos^2 \theta^*) / \pi$$

$$\theta^* = \cos^{-1} \left(\frac{m_{\mu_1} - 2\delta_y}{m_{\mu_1} + 2\delta_y} \right)$$

$$\gamma_e = (F\bar{\omega} / \omega_e) n_y + (\gamma_0 \omega_0 / \omega_e) (1 - n_y)$$

$$\omega_e^2 = \bar{\omega}^2 n_y + \omega_0^2 (1 - n_y)$$

$$n_y = \exp \left\{ -\frac{1}{2} \left(\frac{\delta_y}{\bar{\sigma}_y} \right)^2 \right\}$$

$$\bar{\xi} = \frac{1}{1 - F_T(\delta_y)} \int_{\delta_y}^{\infty} \epsilon F_T(\epsilon) d\epsilon$$

$$F_T(u) = P\{\eta \leq u\} = 1 - \exp \left\{ -\frac{1}{2} \left(\frac{u}{\bar{\sigma}_y} \right)^2 \right\}$$

$$f_T(u) = \frac{u}{\bar{\sigma}_y^2} \exp \left\{ -\frac{1}{2} \left(\frac{u}{\bar{\sigma}_y} \right)^2 \right\}$$

$$m_{\mu_1} = 2(\delta_e - \delta_y) = 2\delta_e \left(\frac{\mu_e - 1}{\mu_e} \right)$$

$$\mu_e = \delta_e / \delta_y \quad (6)$$

エネルギー一定則の導入により、有効変位 δ_0 と $\bar{\xi}$ の間に式(7) の関係が成立する。式(5), (6), (7) を整理すると m_{μ} は式(8) で与えられる。式(7), (8) を用いて繰り返し計算を行なうことにより、 m_{μ} および δ_0 を決定できる。

$$\delta_e = \frac{\mu_e}{\sqrt{2\mu_e - 1}} \bar{\xi}, \quad \delta_g = \frac{1}{\sqrt{2\mu_e - 1}} \bar{\xi} \quad (7)$$

いま、構造系は近似的に線形系に置き換えられており、外乱は正規定常不規則過程であるので、時間が十分に経過したのちの応答は近似的に正規定常不規則過程となり、応答の極値 γ_e が、与えられたレベル u を超過しない確率として与えられる γ_e の分布関数 $F_{\gamma_e}(u)$ は式(9) で与えられる。

$$m_{\mu} = \frac{2(\mu_e - 1)}{\sqrt{2\mu_e - 1}} \bar{\xi} = \frac{2(\mu_e - 1)}{\sqrt{2\mu_e - 1}} \cdot \frac{1}{1 - F_{\gamma_e}\left(\frac{u}{\sqrt{2\mu_e - 1}}\right)} \int_{\frac{u}{\sqrt{2\mu_e - 1}}}^{\infty} \epsilon f_{\gamma}(\epsilon) d\epsilon \quad (8)$$

3. 有効パラメータによる非線形応答の確率論的評価

いま、構造系は近似的に線形系に置き換えられており、外乱は正規定常不規則過程であるので、時間が十分に経過したのちの応答は近似的に正規定常不規則過程となり、応答の極値 γ_e が、与えられたレベル u を超過しない確率として与えられる γ_e の分布関数 $F_{\gamma_e}(u)$ は式(9) で与えられる。

$$F_{\gamma_e}(u) = P[\gamma_e \leq u] = 1 - \exp\left[-\frac{1}{2} \left(\frac{u}{\gamma_e}\right)^2\right] \quad (9)$$

$$F_{Y_{em}}(u) = P[Y_{em} \leq u] = \exp\left[-\exp\left\{k \left(\frac{u}{Y_{pe}} - k\right)\right\}\right] \quad (10)$$

$$K = \sqrt{2 \ln n} \approx \sqrt{2 \ln \left\{ \frac{2(\bar{t}_0 - T_1)}{T_1} \right\}}$$

Y_{em} を応答の継続時間区間 (T_1, T_2) における絶対最大値とすると、 Y_{em} がレベル u を超過しない確率として与えられる Y_{em} の分布関数 $F_{Y_{em}}(u)$ は、式(10) で与えられる。ここに、 T_x は応答過程 $Y_e(t)$ の卓越周期である。

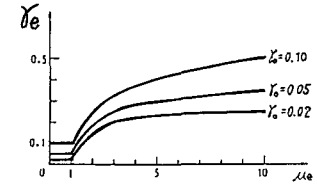


Fig. 2

4. 計算例

まず、マグニチュード $M=7.65$ 、震央距離 $\Delta=11.7\text{km}$ の1種地盤上の地震動を対象として、構造物の各固有円振動数 ω_0 に対して有効パラメータ μ_e 、 ω_e を計算した結果、 γ_e は ω_0 には関係無く一定値となり、塑性率のみに影響され、 ω_e と ω_0 の間には比例関係が成り立ち、グラフの傾き ω_e/ω_0 もまた塑性率のみの関数となることがわかった。各有効塑性率 μ_0 に対して計算した γ_e および ω_e/ω_0 の値をそれぞれ Figs. 2 および 3 に示す。また、初期減衰定数 γ_0 の変化による有効パラメータへの影響を調べるために、 γ_0 を 0.02 および 0.10 として計算を行なったが、その結果、 γ_e は初期減衰 γ_0 によって変化したが ω_e は全く変わらなかった。次に、系に入力する地震動が変わると有効パラメータにどのような影響があるかを調べた結果、有効パラメータは地震動が正規定常不規則過程である場合には、地震動の振動特性に全く影響されないことがわかった。以上のような準備のもとに、式(10)によって非線形応答加速度スペクトルを求めた。ここで、マグニチュード $M=7.65$ 、震央距離 $\Delta=11.7\text{km}$ の1種地盤上の地震動を対象として、有効塑性率を $\mu_0=1.5$ および 3.0 と定めて、各超過確率 $p=0.5$ および 0.05 に対して計算を行なった結果を Figs. 4 および 5 に示す。図中の実線が有効パラメータを用いて計算した非線形応答スペクトルであり、一点鎖線は線形擬加速度スペクトルである。そして、破線は線形応答スペクトルをエネルギー一定則および変位一定則によって修正した非線形応答スペクトルである。ここで、構造物の固有周期 T_0 が 0.2 秒以下の場合にはエネルギー一定則を、 T_0 が 0.4 秒以上の場合には変位一定則を用い、遷移領域はなめらかな曲線で結んだ。Figs. 4, 5 から、 μ_0 が小さい場合、実線と破線は比較的良好に一致しているが、 μ_0 が大きくなると差が生じ、特に $T_0=0.1$ 秒付近での差が大きくなることわかる。

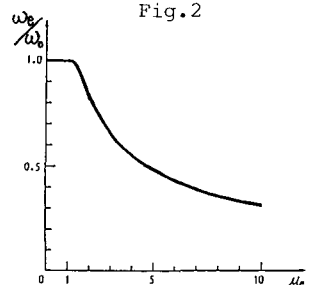


Fig. 3

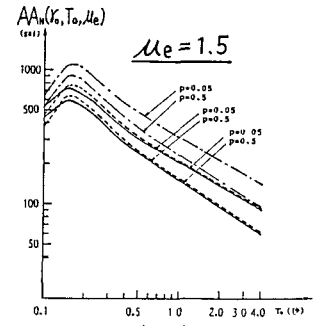


Fig. 4

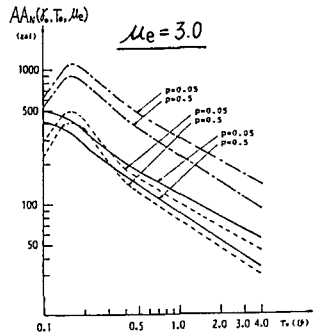


Fig. 5

[1] 今田賢三：粘塑性理論に基づく耐震設計荷重の決定法に関する研究，昭和60年度鳥取大学大学院工学研究科修士論文，1985。
 [2] 柴田明徳：最新建築学シリーズ9、最新耐震構造解析，森北出版，1981。
 [3] Rudolf L. Grossmayer: Stochastic Analysis of Elasto-Plastic Systems, JOURNAL OF THE ENGINEERING MECHANICS DIVISION, ASCE, VOL. 10, NO. EN1, PP. 97-116, FEB. 1981.